

高等学校試用教科书

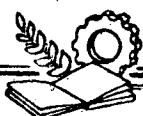
# 鑄鐵及熔炼

西安交通大学机械制造系鑄工教研組編



中国工业出版社

高等學校試用教科書



# 鑄 鐵 及 熔 炼

西安交通大学機械制造系鑄工教研組編

中國工業出版社

本书共分为：灰鑄鐵、優質鑄鐵、特殊鑄鐵、鑄鐵的熔炼等四編。對於各種鑄鐵，着重敘述了機械性能、鑄造性能，及其產生影響的因素，以及獲得各種鑄鐵的工藝。在熔煉方面則着重敘述了冲天爐的熔煉工藝及理論。

本書可作為高等學校機械製造系“鑄造工藝與設備”專業的“鑄鐵及其熔煉”課程的試用教科書，同時亦可作為從事于鑄造工作的工程技術人員的參考書。

## 鑄鐵及熔煉

西安交通大學機械製造系鑄工教研組編

\*

中國工業出版社出版（北京佟麟閣路丙10號）

（北京市書刊出版事業許可證出字第110號）

機工印刷廠印刷

新华書店科技發行所發行·各地新华書店經售

\*

開本 787×1092<sup>1/16</sup>·印張 13<sup>5/8</sup>·字數 313,000

1961年6月北京第一版·1961年6月北京第一次印刷

印數 0,001—2,033·定價(10-6)1.65 元

統一書號：15165·276(-机-32)

## 前　　言

鑄鐵學作為一門單獨課程來講授在我們教研組經試行了幾年，本書即是以該課程歷年來在向蘇聯學習的過程中積累起來的教學資料作為主要依據，經修訂補充而成。由於近二年來各高等院校在教學改革過程中情況不一，為了照顧到本書的通用性，故在內容及編排方面主要取材於1959年度由陸文華同志所編寫的“鑄鐵學”課程的講義。

鑄鐵作為鑄造材料來說，在目前由於它所具有的成本低廉、易于熔炼、鑄造性能優良，以及在相應的領域內完全能得到令人滿意的使用性能等的一系列優越性，因此愈來愈廣泛地應用於各個工業部門中，所以“鑄鐵”無論在生產實踐上或在整個教學計劃中所處的地位都是很重要的。

本課程的任務是給學生在鑄鐵及其熔煉方面的基本知識，在學生學習“物理化學”、“冶金原理”、“金屬學及熱處理”、“鑄造合金原理”及“鑄型工藝”等課程的基礎上，使學生在學習本課程後，知道如何能夠高產、優質及低消耗地鑄造出符合性能要求的鑄鐵鑄件。故本書在內容上不再重複上述課程中已經學習過的知識，而是應用這些知識來討論各種鑄鐵的成分、組織、性能以及和鑄造工藝有關的一些問題。

本書資料主要取材於蘇聯出版的有關雜誌及參考書籍，補充了國內的工廠實踐資料，此外亦適當的編進了一些我校的科學研究成果。

為了便於學生的學習而負擔又不致過重，在內容上曾作了某些精簡，儘管書的篇幅已經不小，但仍然沒有能把每個問題都闡述得詳盡細致。近二年來在鑄造事業中，無論在國內與國外、理論與實踐等方面都有了飛躍的發展，但因時間所限大多數未能編入本書。同時，由於編寫者水平有限，未能把內容編得更緊湊、把理論與實踐、國外資料與國內實踐結合得更緊密，使學生易于閱讀和掌握。其它方面的缺點和錯誤當然也在所難免，尚祈讀者提出批評與指正。

本書在編寫過程中，有周慶德同志參加了編審工作，並補寫了第十章“高硫球墨鑄鐵”。其它有余滋璋、何紀運、李錦章、王可猷等同志幫助了對原稿的整理工作，促進了本書的順利編成。

感謝南京工學院、杭州工學院、華中工學院兄弟教研組對本書在編寫過程中的審閱與指導，對有關教師、眷寫及描圖的同志在整理本書時所給予的帮助亦在此致以深切的謝意。

西安交通大學鑄工教研組

1961年4月

# 目 次

前言	3
緒論	7

## 第一篇 灰鑄鐵

### 第一章 鑄鐵的結晶過程

一、鑄鐵的結晶過程	10
二、石墨化過程	16
三、影響鑄鐵結晶與組織的各項因素	18

### 第二章 灰鑄鐵的鑄造性能

一、灰鑄鐵的流动性	29
二、鑄鐵的收縮	30
三、鑄鐵鑄件的應力	33
四、灰鑄鐵鑄件的偏析	34
五、灰鑄鐵的氣體含量	35

### 第三章 灰鑄鐵的機械性能

一、灰鑄鐵作為結構材料的優缺點	36
二、基本組成相對鑄鐵機械性能的影響	38
三、化學成分對鑄鐵機械性能的影響	40
四、液體狀態對鑄鐵機械性能的影響	42

### 第四章 灰鑄鐵的特殊性能

一、灰鑄鐵的耐磨性	44
二、灰鑄鐵的抗氧化及抗生長的性能	48
三、灰鑄鐵的耐腐蝕性能	52

### 第五章 鑄鐵件的熱處理

一、消除內應力的熱處理	55
二、降低硬度的熱處理	56
三、提高強度及硬度的熱處理	56
四、表面熱處理	58

## 第二篇 优质鑄鐵

### 第六章 賓得优质鑄鐵的途徑

一、珠光體鑄鐵	59
二、鋼性鑄鐵（低碳鑄鐵）	59
三、應用金屬型鑄造的鑄鐵	60
四、選擇有利的原材料	60
五、將鑄鐵進行孕育處理	60

### 第七章 孕育鑄鐵

一、孕育鑄鐵的性能	61
-----------	----

### 二、孕育鑄鐵的應用

三、獲得孕育鑄鐵的工藝	66
-------------	----

四、孕育處理的理論概述	71
-------------	----

### 第八章 可鍛鑄鐵

一、基本原理	72
二、白口鑄件的獲得	76
三、可鍛鑄鐵的退火過程	80
四、可鍛鑄鐵的應用範圍	85
五、可鍛鑄鐵的快速熱處理方法	85

### 第九章 球墨鑄鐵

一、球墨鑄鐵的發展及國內成就	93
二、獲得球墨鑄鐵的過程概述	93
三、球墨鑄鐵的鑄造工藝	94
四、球墨鑄鐵的鑄造性能及鑄造工藝特點	107
五、球墨鑄鐵的機械性能及特殊性能	113
六、球墨鑄鐵的熱處理	125
七、球墨鑄鐵的應用範圍	128
八、球狀石墨形成的理論概述	129

### 第十章 高硫球墨鑄鐵

一、高硫球墨鑄鐵的發展過程	133
二、高硫球墨鑄鐵的化學成分	133
三、高硫球墨鑄鐵的退火處理	136
四、高硫球墨鑄鐵的鑄造特點	137
五、高硫球墨鑄鐵的應用範圍	138

## 第三篇 特殊鑄鐵

### 第十一章 冷硬鑄鐵

一、冷硬鑄鐵的獲得原理	139
二、化學成分對白口層的影響	140
三、工藝因素對白口層的影響	144
四、雙層冷硬軋輥的鑄造	145

### 第十二章 耐熱及抗生長鑄鐵

一、耐熱鑄鐵的概念	147
二、耐熱及抗生長鑄鐵	148

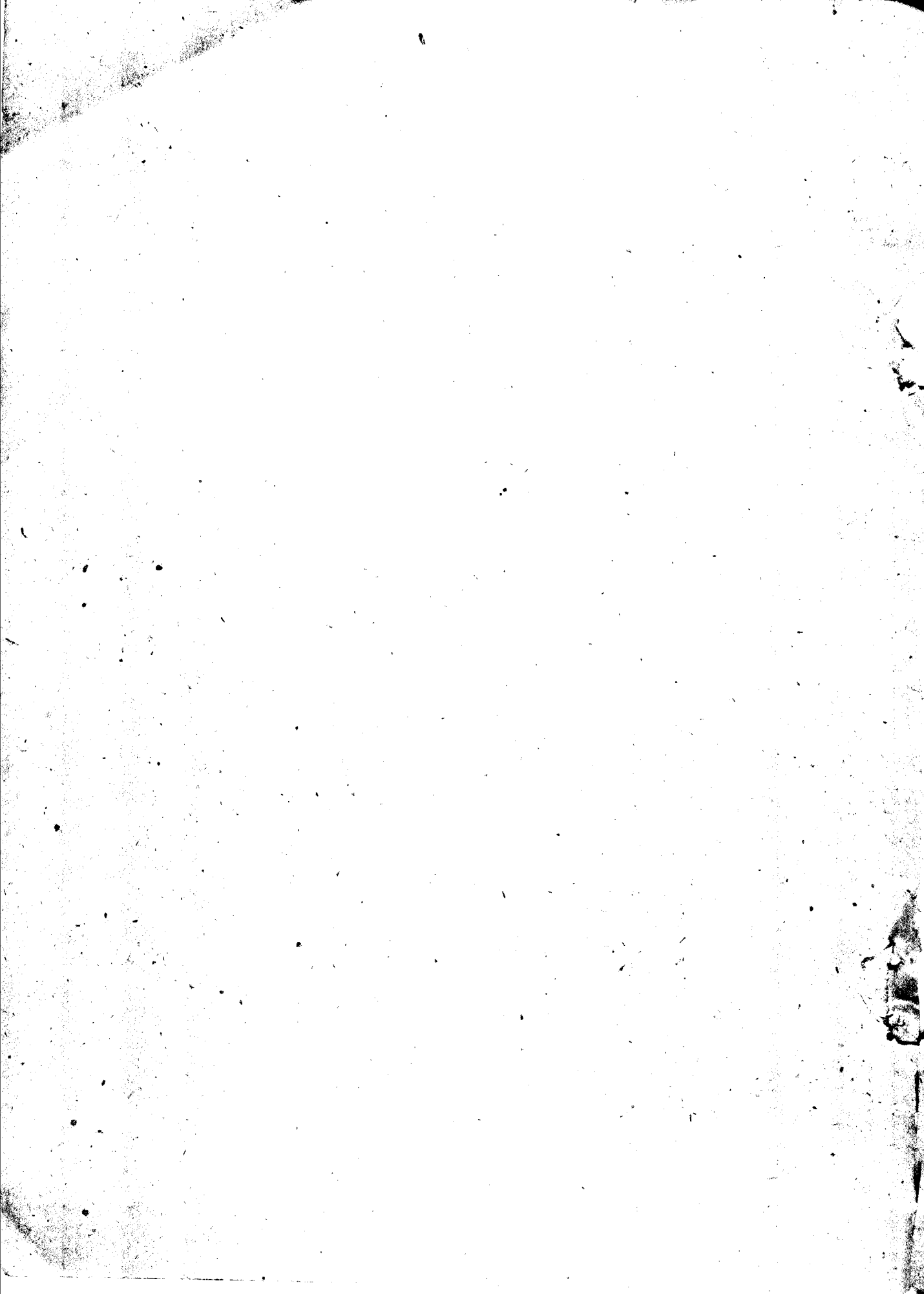
### 第十三章 耐腐蝕及耐磨鑄鐵

一、硅對鑄鐵耐腐蝕性的影响	152
二、鋁對鑄鐵耐腐蝕性能的影响	153
三、耐磨鑄鐵	154

## 第四篇 鑄鐵的熔炼

<b>第十四章 冲天炉的熔炼工艺</b>	157
一、鑄鐵熔炼在鑄造生产中的意义	157
二、冲天炉构造介紹	157
三、冲天炉熔炼用各种原材料	158
四、冲天炉的熔炼工艺	164
<b>第十五章 冲天炉熔炼的理論</b>	168
一、冲天炉中的燃料燃燒及炉气分布	168
二、影响冲天炉內的燃燒情況及炉气分布的因素	171
三、炉料的熔化及铁水的过热	173
四、冲天炉熔炼过程中不同区域中的冶金反应	174
五、冲天炉熔炼过程中鑄鐵化学成分的变化	176
六、冲天炉炉料的配算	183
<b>第十六章 土鐵的熔炼</b>	189
一、土鐵的特点	189
二、土鐵鑄造中常見的缺陷及其原因分析	189
三、对土鐵熔炼过程的要求	190
<b>第十七章 近代冲天炉的熔炼方法</b>	191

一、三排風口冲天炉	191
二、預熱送風冲天炉	192
三、加氧送風操作	194
四、小風口冲天炉	195
五、縫隙式風口冲天炉	197
六、水冷式冲天炉	198
七、碱性冲天炉	199
八、在冲天炉中熔化切屑	201
九、利用气体燃料的冲天炉	204
<b>第十八章 冲天炉熔炼鑄鐵时的控制及檢查</b>	204
一、原材料的檢查与准备	204
二、鼓風的控制及檢查	205
三、铁水质量的檢查	207
四、炉渣的檢查	207
五、炉气的檢查	208
<b>第十九章 其他熔炼炉熔炼鑄鐵</b>	208
一、固定式反射炉	209
二、迴轉式反射炉	211
三、电炉	212
四、用坩埚炉熔炼	213
五、双联法熔化鑄鐵	213
参考文献	216



## 緒論

鑄鐵是鐵和其它元素的多元合金，它具有共晶轉化的特征。根據碳的存在形態及形式，可以將鑄鐵分成如下幾類：

- 一、普通灰鑄鐵 此時碳主要呈自由狀態，即石墨形態存在，而且呈粗片狀。
- 二、白口鐵 此時碳呈結合狀態，即滲碳體形態存在。
- 三、冷硬鑄鐵 此時鑄鐵某一部分（外部）由白口鐵組成；而另一部分（內部）由灰鑄鐵組成。
- 四、孕育鑄鐵 碳亦以石墨形態存在，與普通灰鑄鐵的區別在於較細小，而且分布得更均勻。
- 五、可鍛鑄鐵 由白口鐵退火而成，石墨呈團絮狀。
- 六、球墨鑄鐵 這是最新的一種鑄鐵，碳亦以自由狀態，即石墨形態存在，但呈球狀。

作為鑄造材料來說，鑄鐵具有一系列的優點及很有價值的性質。首先是鑄造鑄鐵件在工藝上比其它鑄造合金的鑄造工藝來得簡便，熔化溫度比鋼為低，熔化工藝及設備簡單等。第二，鑄鐵的成本比其它合金都便宜。第三，鑄鐵具有一系列的優良鑄造性能及足夠高的使用性能，而且在某些方面，如：缺口敏感性、耐磨性及循環韌性方面有獨特的優點。因此，就決定了鑄鐵具有廣泛的應用範圍。根據統計，在整個機器的總重中，鑄件要占50%以上（或40~70%），而在這些鑄件中，鑄鐵件又占70~75%，而鑄件形狀、大小及壁厚等可以由簡單到複雜、由幾克到几百噸、由幾厘米到幾十米長、由幾毫米到1米厚以上。因此，便不難理解為什麼在近代機器製造工業部門對鑄件的生產得到普遍的重視。

鑄鐵具有一系列的優點，但它也具有缺點，大多數鑄鐵件是沒有或很少有延伸能力以及抵抗衝擊載荷的能力，正因為如此，在某些領域內，就限制了鑄鐵的使用，如：許多機車上的零件、受劇烈震動的零件、經受交變載荷的零件等，就不得不用鑄鋼或鍛鋼來製造，這樣就增加了工藝的複雜性及機器的成本，再加上近代工業有向高速度、高載荷、高壓、高溫以及重量輕而強度高發展的趨勢，對零件也日益提出了更高的要求，故要保證鑄鐵能被廣泛採用，必須要進一步提高鑄鐵的性能才能跟得上形勢的發展。我們不仅要提高鑄鐵的性能，而且要不斷擴大鑄鐵的應用範圍。

孕育鑄鐵在國外發展較早，各國應用甚多。目前在國外，孕育鑄鐵件產量仍有不少（應用的孕育劑有 $\text{Fe-Si}$ 、 $\text{Ca-Si}$ 、 $\text{Si-Fe-Ca}$ 、 $\text{Si-Al-Ca}$ 、 $\text{Fe-Si-Al}$ 等），其原因不外是廢鋼來源較多，孕育鑄鐵本身在性能上尚具有一定的特點（如循環韌性比較高），而且有足够的強度（在加入少量合金後，抗拉強度可達40公斤/毫米<sup>2</sup>或更高），再由於工藝簡單、效果穩定，故孕育鑄鐵尚有一定的發展前途是可以肯定的，蘇聯最近用氣體（如 $\text{NH}_3$ ）處理鐵水，亦獲得顯著效果。

球墨鑄鐵的問世在鑄造合金方面可以說是一個創舉。世界各國都非常重視，因此自

1947年試驗成功以來，無論在產量方面，據統計前幾年全世界球墨鑄鐵的產量增長情況如表所示：

1949~1950	1953	1954	1955	1956上半年
5137噸	31778噸	46876噸	84037噸	59184噸

到目前為止，鑄態性能可穩定地達到以下範圍： $\sigma_b = 50 \sim 70 \text{ 公斤}/\text{毫米}^2$ ； $\delta = 2 \sim 15\%$ ，如經不同方法的熱處理後， $\sigma_b$  可高達  $95 \text{ 公斤}/\text{毫米}^2$  或更高， $\delta$  可高至  $20\%$ （兩者不可兼得）。

為了提高普通鑄鐵及球墨鑄鐵性能，在國外發展了許多合金化的方法。1957~1959年間國外會先後在普通鑄鐵中加入  $0.1 \sim 0.5\%$  Sn 制造錫合金鑄鐵，可使基體中珠光体量占  $50 \sim 100\%$  而無滲碳體，使普通鑄鐵的抗拉強度提高至  $26 \text{ 公斤}/\text{毫米}^2$ ，耐磨性良好。1959年國外又有向球墨鑄鐵中加錫 ( $0.003 \sim 0.4\%$ ) 獲得了  $60 \sim 100\%$  珠光體而無滲碳體的球墨鑄鐵， $\sigma_b$  高達  $65 \sim 90 \text{ 公斤}/\text{毫米}^2$ ，延伸率  $2 \sim 8\%$ 。根據我國資源情況看來，錫可能一個合金化的方向，其它尚有 Mn、Mo、V、B、Ti 等。國外研究工作者認為 Mo、Ti、W、V、Cr、Si 等合金鑄鐵是耐熱鑄鐵的發展對象，普通西拉爾鑄鐵，特別是球墨西拉爾鑄鐵 (含  $4 \sim 6\%$  硅)，受到很大的重視。

蘇聯近年來對球墨鑄鐵的處理工藝、球化理論及工藝特點方面進行了大量研究，特別在球化理論方面更加突出。

在可鍛鑄鐵方面國外把主要注意力集中在進一步提高性能、縮短退火時間以及用到厚大斷面的零件上去，在性能上國外珠光體可鍛鑄鐵  $\sigma_b$  可達  $45 \sim 70 \text{ 公斤}/\text{毫米}^2$ ， $\delta = 2 \sim 10\%$ 。在縮短退火時間方面，如採用隧道式退火電爐，可將全部退火時間縮短到 30 小時。蘇聯某些工廠已採用了淬火—退火方法，退火前先在  $970 \sim 980^\circ\text{C}$  油淬，全部退火時間縮短至  $24 \sim 28$  小時；另外用油槽退火方法，可將退火時間縮短至  $10 \sim 12$  小時。

根據國內統計，在第一個五年計劃內鑄件產量提高了好幾倍，鑄鐵件的平均廢品率逐年降低，並為機械工業部門提供了各種重點產品的毛坯。

解放初期，我國還只能熔煉抗拉強度  $18 \text{ 公斤}/\text{毫米}^2$  以下的灰鑄鐵。但到目前抗拉強度大於  $21 \text{ 公斤}/\text{毫米}^2$  的灰鑄鐵、孕育鑄鐵、可鍛鑄鐵、球墨鑄鐵及各種特殊鑄鐵鑄件的生產已為廣大的鑄造工作者所掌握。

1958年以來，由於在全國範圍內掀起了大煉鋼鐵運動，生產了大量鋼鐵，有力的推動了我國機械製造工業的高速度發展，經過二三年來的生產實踐，克服了技術上的困難，摸索了很多經驗，生產了大量性能合乎要求的鑄件。

孕育鑄鐵是在1949年年底開始由上海某公司生產，在當時缺乏其它高強度鑄鐵的情況下，起了很大作用。目前在一些工廠還是大批的生產孕育鑄鐵鑄件，質量甚為穩定，抗拉強度達  $28 \sim 36 \text{ 公斤}/\text{毫米}^2$ ，該廠生產的 250 匹馬力柴油機的曲軸便是由低合金孕育鑄鐵製造的。

可鍛鑄鐵方面最近亦有很大發展，退火時間從解放初期的  $120 \sim 150$  小時縮短到目前的  $20 \sim 40$  小時，曾先後由靈山農具廠試驗成功加鎂快速退火法（全部退火時間為  $12 \sim 15$  小時， $\sigma_b$  达  $40 \sim 60 \text{ 公斤}/\text{毫米}^2$ ， $\delta$  达  $2 \sim 8\%$ ）。另一些工廠用加鋁低溫时效快速退火法，使退

火时间縮短到40小时左右。由哈尔滨工业大学与第一汽车制造厂合作研究成功了加硼鎂的快速退火工艺，使退火时间縮短到24小时。

球墨鑄鐵在我国发展得特別迅速，目前可說已进入世界先进行列。自1949年2月在實驗室中加鎂合金得到球墨鑄鐵以来，在十年多一点的时间里获得了巨大的成就。我們曾創造了利用安全壳的純鎂處理法、补冲鐵水的處理法、鎂屑結處理法、鐵水表皮球化鑑定法以及利用火焰鑑定球化程度的方法，并創造了灭容加鎂法，使生产条件下的平均耗鎂量达到0.2%以下，在試驗室条件下最低的耗鎂量达到0.059%（新乡机械厂資料），压力加鎂法已为許多生产工厂所采用。到目前为止机械性能已能控制在下列範圍：

	$\sigma_b$ 公斤/毫米 <sup>2</sup>	$\delta\%$	$H_B$
鑄态	54~74	2.5~1.5	205~250
正火	85~96	3~4.5	285~294

据先进工厂报导：珠光体球墨鑄鐵的强度可高至大于70公斤/毫米<sup>2</sup>，正火后可达105公斤/毫米<sup>2</sup>。

我国还掌握了各种球墨鑄鐵热处理方法，对退火、正火以及等溫淬火等方法作了較多的研究。退火后延伸率可高达15~25%，淬火后抗拉强度可达140公斤/毫米<sup>2</sup>。

在球墨鑄鐵合金化方面，已对Ni—Mo、Ni—Cr、Cr—Ni—Mo、W—Mn、Mn—Mo等系作了初步研究，可作为高强度的及耐高溫的球墨鑄鐵鑄件。

在鑄件方面制成了大型軋輶及柴油机的曲軸。

在冲天炉熔炼鑄鐵方面，亦有很大的发展，从过去的大多数鑄造車間采用座炉或三节炉作为主要熔化設備的情况进展到以現代化的冲天炉作为主要熔炼設備，学习和掌握了苏联三排風口冲天炉的熔炼工艺創造了小風口冲天炉，发展了預热送風冲天炉、碱性冲天炉以及水冷熱風无炉衬碱性冲天炉等的熔炼技术。特別需要指出的是1958年以来，在全国性的大炼鋼鐵运动以后，鑄造車間在大量应用土鐵的前提下，創造性地改进和发展了冲天炉的结构和熔炼工艺，集中使用了各种强化方法（如：前炉回气、二次进風、强化器、曲線炉形等）而出現了多宝冲天炉，能在保持鐵水溫度不变的情况下，提高鐵焦比至15:1以上，在熔炼土鐵的过程中起了很大作用。

从国内情况看来，鑄鐵方面的努力方向首先必須稳定地利用各种土鐵，鑄造出合格的鑄件。此外，可以利用土鐵的低碳硅特点，熔鑄低碳硅鐵水制造优质鑄鐵以代替需要大量廢鋼的孕育鑄鐵。最近国内很多地方已經利用土鐵高硫的特点来制造高硫球墨鑄鐵，性能良好，在制造农机、农具的工作中發揮了很大作用，應該繼續加以推广。

繼續研究可鍛鑄鐵的快速退火法，进一步縮短退火时间及提高其机械性能，并使其能用之于較厚断面的鑄件。

繼續研究并扩大球墨鑄鐵的应用范围，发展大型球墨鑄鐵鑄件，消除鑄造缺陷、稳定质量、提高性能、节约用鎂并探討新的球化剂，結合我国資源发展合金球墨鑄鐵。

繼續提高鑄件的质量和降低成本、在推动生产、远近结合的基础上加强鑄鐵方面的理論研究工作應該是鑄造工作者的重要任务。

# 第一篇 灰鑄鐵

## 第一章 鑄鐵的結晶過程

### 一 鑄鐵的結晶過程

#### 1. 从液体溫度到共晶溫度間的組織變化。

鑄鐵可以看作是一種鐵碳及硅的三元合金，其他元素可以看作是鑄鐵中的杂质，在研究鑄鐵的結晶現象時，一般根據鐵碳平衡圖來加以分析，如硅量一定時，可以根據Fe—Si—C三元系中固定含硅量的截面圖來加以研究，圖1-1示Fe—C二元合金系的雙重平衡圖。

先以含碳不到4.3%的亞共晶鑄鐵加以研究，從圖1-2所示合金自a冷卻至B時，並不發生相的變化，亦無結晶現象，若冷卻條件足以使合金過冷至B且維持在此點，則合金顯然含有過飽和的鐵，因此，遲早會在鐵水中形成結晶核心，析出含有大量鐵的γ體，由於析出的γ體中含碳量比原來的少，這樣便使液體部分的含碳量加濃，若溫度保持不變，則液體部分的含碳量，便會自原來的 $\delta$ 向 $\delta'$ 變化。當液體含碳量為 $\delta'$ 而固態物含碳量為 $\delta$ 時，便又達到平衡。結晶的析出作用便告停止，此時液相量為 $B\gamma$ ，而γ體含量則為 $B\delta$ 。

若欲使結晶體繼續析出，必須有更大的過冷度，例如再過冷至3%，則液相成分为K，顯然又含有過多的鐵，這樣便會繼續析出γ體。

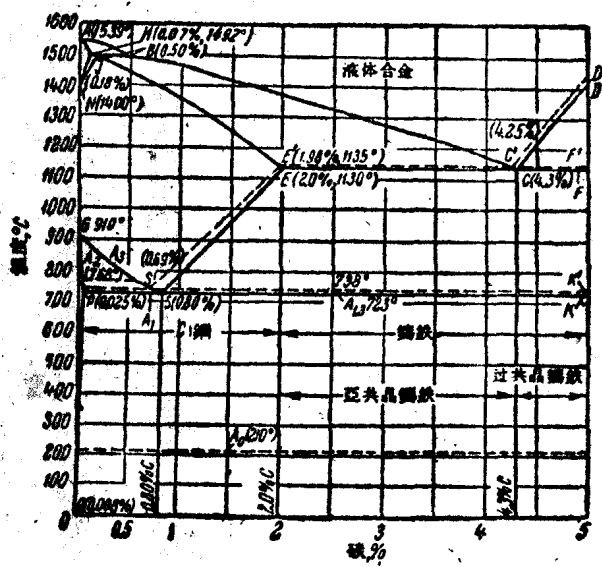


圖1-1 Fe—C合金二元狀態圖。

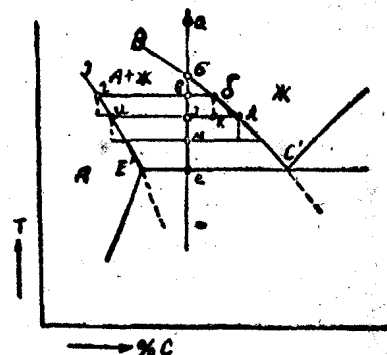


圖1-2 Fe—C合金狀態圖的一部分。

結晶。這樣繼續不斷的冷卻，便足以使鑄鐵不斷析出γ體，而直到O點為止，此時析出γ體含碳量為 $E'$ 而液體含碳量為 $C'$ 。

繼續冷卻時，便發生共晶轉化，若冷卻速度較慢，共晶轉化時析出石墨，冷卻速度超過某種限度時，共晶轉化時析出滲碳體，其轉化情況，下面再行討論。

至於含碳量超過4.3%的過共晶鑄鐵，冷卻凝固時的變化方式有二種，一種為冷卻速度較慢而在某一度限以下的情況，冷卻期內析出石墨，當冷卻速度超過某一度限時，冷卻期

内可自铁水中析出渗碳体。

以第一种结晶方式而论，情况如下：图1-4内的铁水自a冷却时，在a—b阶段中，并无结晶现象产生，图内C'D'线为铁水与石墨保持平衡的温度与碳含量之间的关系，当冷却速度并不太大而铁水过冷至 $\alpha$ 时，这样铁水内便会迟早产生高碳的核心，由于析出石墨核心，在石墨表面部分的铁水含碳量便会降低至B，这样远离核心的铁水含碳量为 $\gamma$ ，比B点为浓，结果便会引起铁水中碳原子的扩散，若使石墨不断生长直至所有未凝固铁水内的碳含量全部达到B为止，若欲使石墨再行生长，必须再过冷至 $\beta$ 点，此时液体的含碳量为 $\epsilon$ ，显得含碳量又比平衡含量为高。这样便会使石墨继续析出，直至未凝固部分成分变到 $\sigma$ 为止，此种情况不断进行，便可使液体的成分变至C'为止，其后的冷却凝固作用，便会引起共晶转化。

在上述析出石墨的作用中，为了使石墨生长，除了必须有碳原子不断自其它部分扩散至 $\text{M}/\Gamma$ 界面以外（铁水/石墨界面），还有另外一个必要条件，那就是铁原子必须不断地自 $\text{M}/\Gamma$ 界面扩散到铁水中去，留出空位来容纳碳原子。这个条件，主要是由于析出石墨时体积膨大，必须有空位以容纳膨大部分，才足以使石墨生长，由于这一关系， $\text{M}/\Gamma$ 界面处附近铁水中的[空位]浓度便会减少，而远离 $\text{M}/\Gamma$ 界面处的[空位]则较浓，因此[空位]便又不断向 $\text{M}/\Gamma$ 界面扩散，维持碳核心的生长，因此在析出石墨的过程中，共有二个限制条件，其一为碳原子的扩散，而另一则为铁原子自己扩散以留出[空位]，这两种作用中，以[空位]的扩散速度较慢，因此，这一作用便限制了石墨的生长（这只是K.П.布宁及其学派的理论）。

至于第二种结晶方式，情况如下：在图1-4所示的过共晶铁中，由于冷却速度较大，过冷程度甚大，而使铁水过冷至CD线以下，此时便会自铁水内直接析出渗碳体，当过共晶铁水过冷至 $\alpha$ 点时，对CD与C'D'而言，铁水均显得含有过饱和的碳，在这种情况下当然有可能析出渗碳体，但同样有可能析出石墨。

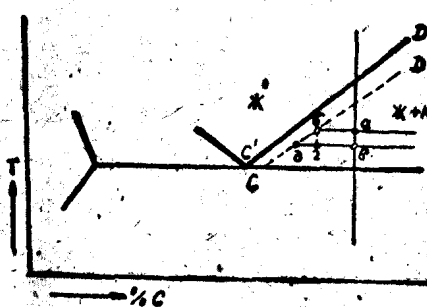


图1-3 Fe—C合金状态图的一部分。

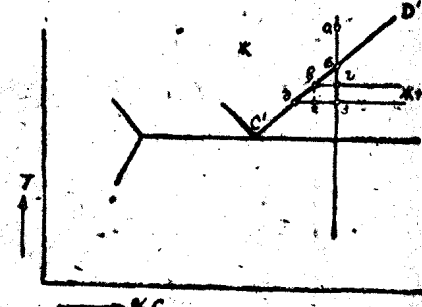


图1-4 Fe—C合金状态图的一部分。

根据前述析出石墨时的限制条件为铁原子的自己扩散以造成[空位]而形成渗碳体的条件则为碳原子的扩散与铁原子的重新排列，过冷度增加时，前一种作用减弱，而后一种作用加强，因此，过冷度加大时便析出渗碳体，至于渗碳体析出的过程，与析出石墨时相似，不再重述。

## 2. 钢铁的共晶转化：

共晶转化时，共晶液体分解成 $\gamma$ 体及高碳相，此高碳相可为石墨，也可为渗碳体，根

据铁水成分、冷却条件、铁水处理方式而定。当共晶转化析出石墨时，铸铁便成为灰口铁；析出渗碳体时，便成白口铁，若同时析出石墨及渗碳体，则为麻口铁。

以共晶灰铸铁而论，共晶点C'为BC'线与D'C'线的交点，如图1-5所示，当铁水过冷时，铁水便显得同时有过饱和的铁及碳，因此，有条件使γ体与石墨同时析出，过冷至x时，铁与碳的过饱和程度，可各用虚线xy及xz表示，若x点在EF线上（EF线在图上未表示出），则高碳析出物不可能是渗碳体，在这种情况下，最先析出的核心为石墨（这是因为开始析出γ体时需要较大的过冷度之故）。由于石墨之析出，使石墨核心周围之液体内碳的浓度降低至Z，这样便有可能在该处产生γ体核心。当γ体长大时，在γ体附近铁水中含碳量增加至y，形成了碳的浓度梯度，因此碳原子便会自 $\text{Fe}/A$ 界面向 $\text{Fe}/\Gamma$ 界面上扩散，而 $\text{Fe}/\Gamma$ 界面上的铁原子，则向 $\text{Fe}/A$ 界面扩散，留出空位以便石墨成长。

析出石墨片的尖端部分伸向铁水，两侧则有γ体包住，这样尖端部分往往快速生长，而欲使两侧肥厚，则碳原子必须自 $\text{Fe}/A$ 界面经γ体而自铁水扩散至 $A/\Gamma$ (γ体/石墨)界

面，这样两侧的增厚当然较慢，因此析出的石墨便形成片状，可由图1-6示意说明。

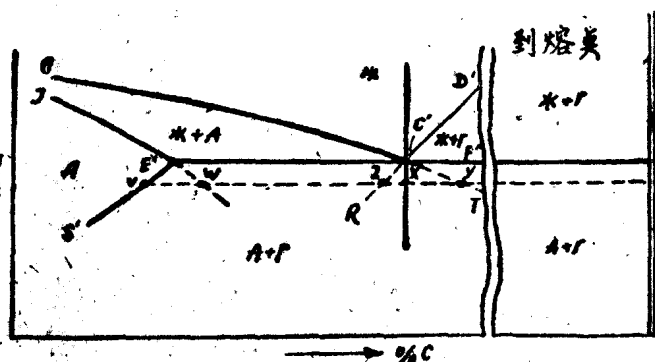


图1-5 Fe—C合金状态图的一部分。

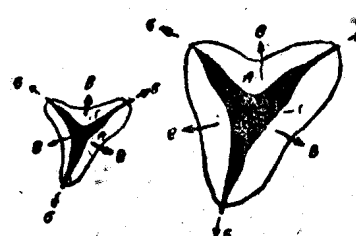


图1-6  $A+\Gamma$ 集合体成长的示意图。  
EE—石墨的纵向生长；BB—石墨的横向生长。

由共晶分解而生成的 $A+\Gamma$ 团本身并不均匀，此种组织本身的基质为γ体，其中含有石墨片。

当冷却速度增加时，此种片状石墨逐渐变细，当冷却速度超过某一限度时，便产生所谓[过冷石墨]，即非常微细的晶枝间石墨。过去错误的认为此种石墨由渗碳体分解而成，事实上它的生成方式与前述一样，并无区别。（布宁的见解）。

非共晶铁水的共晶变化：此时共晶转化在具有过剩的γ体或石墨的方式下进行，如图1-7所示，当成分为a的亚共晶铁水冷却至a点时，便开始析出γ体，温度自a冷却到δ，析出γ体的成分便成为E'，而未凝固部分的液体成分则为C'。刚冷却至δ点时，并不会立即产生共晶转化，一般须有若干程度的过冷，在此过冷期内，仍不断地析出γ体，析出γ体的成分自E'→W，此时液体部分的成分自C'→y，这样铁水便显得含有过饱和的碳，因此便开始析出石墨，开始共晶转化，以后情况与共晶铸铁相同。

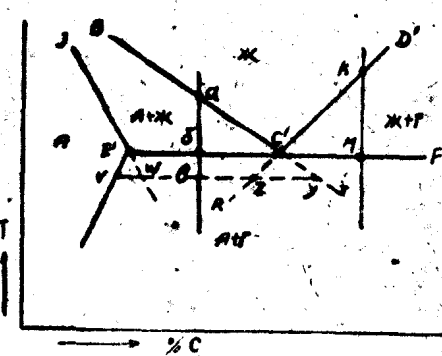


图1-7 Fe—C合金状态图的一部分。

当含碳量甚低的铁水凝固时，在发生共晶转化以前，已析出了大量 $\gamma$ 体，结果发生共晶转化的液体量甚少，且成为个别的小区。被初晶 $\gamma$ 体所隔开，结果使共晶转化中所析出的石墨分布在树枝状结晶之间，而成为树枝状分布形式。称为晶间石墨。

至于过共晶铁的共晶变化，基本上并没有特殊之点，在 $KM$ 温度区内析出过多的石墨，铁水成分变成 $C'$ ，再继续冷却，便会析出共晶 $\gamma$ 体及其共晶石墨，此共晶 $\gamma$ 体可能在初析石墨表面上生成核心而析出，亦可能在共晶石墨面上产生核心而析出，但温度至少须在 $M$ 点以下，当过冷甚小时，析出共晶 $\gamma$ 体及其共晶石墨与初析石墨相连，与共晶铸铁及亚共晶铸铁很难区别；但当过冷度甚大时，初析石墨面上所析出的石墨及 $\gamma$ 体甚少，而在初析石墨所包围的区域中析出许多细小的共晶石墨。

白口铁的共晶转化：当共晶铁水过冷到 $ECF$ 线以下时，共晶转化时便会析出渗碳体及 $\gamma$ 体。

麻口铸铁的共晶转化：当冷却速度不太快也不太慢时，两种高碳相即石墨及渗碳体可同时产生，这样铸铁就成为麻口组织，此时一般是在共晶转化开始时析出石墨，共晶转化将完了时析出渗碳体，但亦有相反者，即先开始析出渗碳体，然后由于结晶过程的进行而放出凝固潜热，使冷却速度降低，以致析出石墨。

### 3. 铸铁在共晶温度与 $A_1$ 点之间的组织变化。

液体中析出结晶的规律，在固态转化中同样适用，但固态状态中的变化，共有下述几项特点：

- (一) 固态中的转化，与原来相及生成相有关，一般均在相界面上析出新相。
- (二) 位相变化时，由于体积的变化，往往产生应力，转化温度愈低，以及转化中体积变化愈大时，则应力亦愈大。

铸铁于凝固完成时，组织可分为 $A+P$ ( $\gamma$ 体+石墨)， $A+K$ ( $\gamma$ 体+渗碳体)或 $A+P+K$ ( $\gamma$ 体+石墨+渗碳体)，铸铁在共晶温度 $T$ 至共析温度( $A_1$ )间还有较大的组织变化，在此段温度内，冷却过程中可能自 $\gamma$ 体内析出石墨，亦可能自 $\gamma$ 体内析出渗碳体。

(i) 析出石墨：凝固完毕时 $\gamma$ 体的含碳量应为1.5~2.0%，但如果冷却速度甚大时，则由于 $\gamma$ 体的选择性凝固作用，则含碳量远较上述数值为低。

假设 $\gamma$ 体在析出过程中有足够的时问与液体部分相接触，而成分能够均匀化，则在凝固完毕时，其含碳量为 $E'$ 如图1-8所示，温度下降时， $\gamma$ 体内的饱和含碳量亦随之而降低，当铸铁温度降至6点时，则含碳量为 $B$ 的 $\gamma$ 体便呈过饱和状态，若在此温度保持一定时间，则 $\gamma$ 体内的过剩碳便会析出，若过冷度不大，即渗碳体并不可能析出时，(如6点在不稳定平衡相线 $EF$ 以上)，析出物应为石墨，此石墨一定在 $A/P$ 的界面上析出，这样便使该界面处 $\gamma$ 体的含碳量降低至平衡值 $B_1$ ，而远离石墨面的 $\gamma$ 体的含碳量仍为 $B$ ，结果 $\gamma$ 体内便会产生碳的浓度差 $B_1$ ，因而引起了碳的扩散，使石墨不断生长，最后 $\gamma$ 体的含碳量全部降低至 $S'$ 时，石墨的生长便告停止，温度再降低便可再析出石墨，这样步步降低温度，最后可使 $\gamma$ 体内的含碳量降至 $S'$ 点。

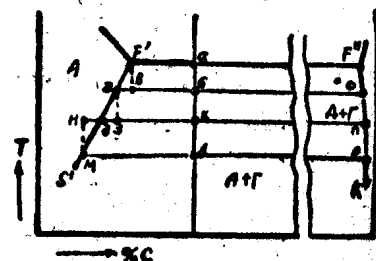


图1-8 铁-碳合金状态图的一部分。

析出的石墨一般均附着在原来已有的石墨面上，但由于析出石墨中的主要因素为界面上铁原子的自己扩散作用，因此若某体内的铁原子的自己扩散作用在某一方向上加速，则石墨便会取该方向生长长大。

(ii) 析出渗碳体：冷却速度加快时，或加入合金元素以降低铁原子自己扩散作用时， $\gamma$ 体的析出石墨作用便会被阻止。此时便借碳原子的扩散与铁原子重新排列相配合而析出渗碳体。

以白口铁而论， $\gamma$ 体的饱和含碳量为E点，如图1-9所示，温度降至a点时，E成分的 $\gamma$ 体与不稳定相的渗碳体保持平衡，冷至b点时， $\gamma$ 体含有过多的碳，因而在A/K界面上析出渗碳体，由于和析出石墨同样的理由，使 $\gamma$ 体内的含碳量变化至c，其后逐步冷却，终于使 $\gamma$ 体的成分变成S。

析出渗碳体或石墨的量与冷却速度亦有关系，速冷时，渗碳体来不及析出，因此使冷至A<sub>1</sub>点之 $\gamma$ 体，含碳量可高于平衡含碳量。

#### 4. 铸铁的共析转化

系指铸铁冷却至 $723^{\circ}\text{C} \pm 3^{\circ}\text{C}$ 以下的变化，在此区内，由于铸铁的冷却速度及化学成分不同，而可分为稳定式的与介稳定式的变化两大类。在稳定式变化中，生成物为共析石墨与铁素体，在介稳定变化中，则生成珠光体或其他组织，如索氏体、屈氏体、贝氏体及马氏体。在钢中仅有介稳定变化；而在铁中则由于成分中含有大量的硅，以致部分改变成稳定式变化，同时，由于有了硅，使共析点范围扩大，成为一个共析温度范围。这一方面，研究工作还做得很少，铁—碳—硅三元系状态图还未做成，仅有若干个含有一定硅量的若干切面图而已，共析范围这一个现象早已发现，例如以下述两种灰铸铁作淬火处理时：

(一) 3.20% C, 2.46% Si;

(二) 3.1% C, 3.77% Si。

第一种铸铁自 $770^{\circ}\text{C}$ 淬火时组织中，除有马氏体外，同时有铁素体存在，直至淬火温度提高到 $800^{\circ}\text{C}$ 以上组织中开始无铁素体存在；而在第二种铁中，由于硅量较高而碳量并无多大变化，淬火温度直至提高到 $900^{\circ}\text{C}$ 以上，组织中才只有马氏体而不见铁素体。由此可知，硅量越高，淬火时愈不易全部生成马氏体。在一般铸铁中，若不采用特别加速铸件冷却的方法，则在共晶区内铸铁根据稳定态而转化，生成石墨；而在共析转化时，则根据介稳定方式转化而生成珠光体组织。此外，在铸铁的共析转化时，必已有很多石墨存在，此项石墨对共析转化也能发生作用。

一般而论，铁水注入铸型后的冷却可分为两个阶段：第一阶段为共晶转化阶段，在此阶段内，如按稳定方式结晶时，则生成物为石墨，此时期的冷却条件可决定石墨的大小，多少及分布形式，第二阶段为共析转化阶段在此阶段内决定铸铁的基本组织，共晶转化时的冷却速度能影响到石墨的析出条件，而析出的共晶石墨又可能成为共析转化时的核心，因此，对共析转化亦有一定的影响。

在钢中主要的研究对象为马氏体的转化作用，在铸铁中，主要的研究对象则为转变成珠光体的转化作用，这是因为铸铁大都在砂型中冷却，当达到共析转化温度时的冷却速度

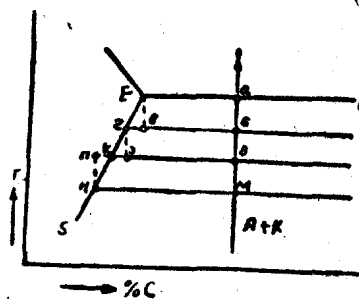


图1-9 铁—碳合金状态图的一部分

分。

不大，过冷程度甚低之故。

亚共晶鑄鐵在 $720^{\circ}\sim530^{\circ}\text{C}$ 的过冷溫度中轉化时，仅生成珠光体，过冷度愈大，珠光体的組織愈細微，在 $500^{\circ}\text{C}$ 及 $500^{\circ}\text{C}$ 以下轉化时，生成針狀屈氏体与珠光体的混合組織。

过共晶鑄鐵在共析变化中，生成物中的鐵素体占绝大多数，仅磷共晶体四周有珠光体存在而已。当冷却速度加快而过冷溫度为 $680^{\circ}\text{C}$ 时，組織中鐵素体含量为 $25\sim30\%$ ，过冷溫度为 $650^{\circ}\text{C}$ 时，鐵素体占 $10\%$ ，过冷溫度为 $620^{\circ}\text{C}$ 时，組織中仅有鐵素体 $2\sim3\%$ ，过冷溫度达到 $600^{\circ}\sim580^{\circ}\text{C}$ 时，組織中始无鐵素体存在。

若欲防止过共晶鐵中析出鐵素体，最好利用各种合金元素，其中最有效的是鉻，錳及鉬，加入此种元素后，过共晶鐵在 $680^{\circ}\sim550^{\circ}\text{C}$ 的恒溫中发生共析轉化时，不致产生鐵素体；由此可知，上述合金元素加入鑄鐵后，在共析轉化时奧氏体显得比非合金更为稳定。图1-10示各种元素与奧氏体开始轉化所需的时间即奧氏体的穩定度的关系。时间愈长，表示奧氏体愈加稳定。由此图可知加入鉬对奧氏体的穩定度最大。碳含量愈大，奧氏体的穩定度愈低，这是由于奧氏体中碳的飽和度增加的缘故。

在实际鑄件中，鑄件在砂型中的冷却为連續式的，因此奧氏体的共析轉化生成物为各种混合組織，为了得到一定的組織，必須有一定的冷却速度，以含 Si 1.8% 的鑄鐵而論，若欲使共析轉化生成物全部为珠光体的組織，則冷却速度至少为 $0.4^{\circ}\text{C}/\text{秒}$ ，即 $24^{\circ}\text{C}/\text{分}$ ；而含 Si 2.7% 的鑄鐵則需以每秒下降 $6^{\circ}\text{C}$ ，即 $360^{\circ}\text{C}/\text{分}$ 的速度冷却时，始能使組織中全部为珠光体。由此可知，含 Si 量愈高，生成全部珠光体組織所需的冷却速度应愈大。我們若知一种碳、硅含量的鑄鐵，在某一种冷却速度下（指 $750^{\circ}\sim650^{\circ}\text{C}$ 間的溫度区内）的共析轉化生成組織，則根据此項数据便可求得同一化学成分，而厚度不同时的組織变化情形。

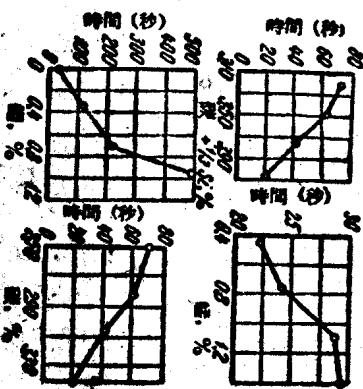


图1-10 某些元素在上部轉变地带  
对奧氏体稳定性的影响。

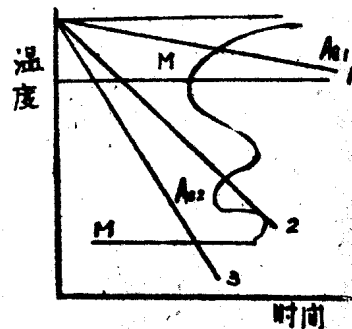


图1-11 不同冷却速度时鑄鐵組織  
形成的示意图。

鑄鐵中的基体組織，可根据冷却曲綫与共析分解  $S$  —— 曲綫的交点来估計，例如在图1-11中冷却曲綫 1 与  $S$  —— 曲綫相交于珠光体轉化速度最大点之上，表示共析轉化生成物为珠光体；冷却曲綫 2 与  $S$  —— 曲綫相交于  $\text{Ae}_2$  处，此时共析轉化生成物便可能是針狀屈氏体；冷却曲綫 3 与  $S$  —— 曲綫相交于  $M$  線处，此时便轉化成馬氏体。

若冷却速度保持一定，而逐渐增加合金元素含量，亦可改变鑄鐵的基体組織。例如以普通鑄鐵澆注厚 12 毫米的干砂型鑄件，所得的基体組織为鐵素体——珠光体混合組織，如

加入0.3% Mo后，基体組織便全部轉化成珠光体。此时奥氏体的稳定程度并不頂大。加入Mo1~1.5%时，組織中便有針狀屈氏体产生；如含Mo量更为增加，则基体組織中可完全轉化成馬氏体。在上述情況中，相当于图1-11的冷却曲綫不动，而S——曲綫向右移动，以致原来的冷却曲綫1逐步与  $Ae_2$  处相交，而最后则与M处相交，因此組織上便发生上述变化。

由此可知，决定鑄鐵基体組織的主要因素是：鑄鐵的化学成分及冷却速度，在一定的化学成分下，基体組織由冷却速度所决定，冷却速度非但能影响鑄鐵的基体組織，而且能影响到組織的粗細程度(包括石墨及基体)，增加冷却速度可細化晶粒，如对珠光体來說，增加冷却速度，使珠光体組織細化。

在实际生产中，鑄鐵的外表部分与中心部分的冷却速度相差甚多，因此内外部分的組織有时亦会有显著的差別。

## 二 石墨化过程

在上节內已經詳細地談了关于石墨的結晶過程，故在本节內不再重複，本节內主要介紹有关石墨化過程的其他一些問題。

### 1. 現有石墨化理論的觀點及其分歧

虽然关于石墨化問題进行了大量工作，但目前在这个問題上还有分歧。

关于石墨形成過程的原理有二种不同的觀點，第一种觀點认为石墨是滲碳体分解的產物，不能由溶液（液体与固溶体）中直接析出，根据这个觀點任何化学成分的鑄鐵不管它的冷却条件如何，結晶时都生成白口，进一步当条件有利时再轉化为灰口，因此对所有的鑄鐵來說，只存在一种平衡圖——介穩定平衡圖，主張这个觀點的有 M. Г. 阿克諾夫；A. H. 藍達，K. И. 瓦申柯等。前二位学者并认为最初形成的滲碳体的时间非常短，在液体时已可以分解。

第二种觀點认为根据不同条件石墨能由液体中直接析出，亦可能由滲碳体分解而得，根据这个觀點便有双重平衡圖的存在——介穩定平衡圖与稳定平衡圖，主張这个觀點的有 K. П. 布宁，Г. Н. 德魯斯基，И. Н. 布格切夫，В. Ф. 祖巴烈夫，Н. Г. 盖尔紹維奇等。

在苏联大多数学者主張并贊同第二种石墨化理論的觀點，并应用双重平衡圖来研究鑄鐵的結晶過程。

在国内关于这方面的工作做得还比較少，故还没有建立起具有足够根据的見解与觀點。

### 2. 灰鑄鐵內石墨的分布形式

石墨形成的一般過程如下：在初生相（亚共晶鑄鐵內为奥氏体，而在过共晶鑄鐵內为石墨），析出以后，便开始共晶轉化而相应地析出石墨。但是由于过冷較少，这时通常得到粗大的聚集物，而不是細小的共晶組織。在这种条件下，石墨的析出物呈均匀而无方向性的分布着（图1-12 a）。

当过冷度大一点时，就形成了薔薇状的石墨，这种石墨在放大倍数不大时能很好地在金相試片上发现（图1-12 b）。

当过冷度再加大时，尤其在亚共晶鑄鐵內，石墨分布在奥氏体枝晶間的空隙中（图1-12 c）在这种情况下，石墨沿先形成的奥氏体枝晶分布。因此，石墨的分布具有枝晶間